

بررسی سنگ‌شناسی و جایگاه زمین‌ساختی سنگ‌های آتشفشنایی در برگیرنده‌ی کانسار مس ابری (شمال‌غرب بردسکن)

فرج الله فردوست^{*}؛ افسانه سلطانی

دانشکده علوم زمین، دانشگاه صنعتی شاهرود

(دریافت مقاله: ۹۵/۱۲/۲۷، نسخه نهایی: ۹۶/۳/۲۰)

چکیده: در ۵۰ کیلومتری شمال‌غرب بردسکن، سنگ‌های آتشفشنایی و آتشفشنایی رسوی ائوسن، به عنوان نوار ماقمایی شمال پهنه‌ی ساختاری ایران‌مرکزی میزبان کانسار مس ابری هستند. سنگ‌های آتشفشنایی دارای ترکیب غالب آندزیت، بازالت و آندزیت بازالت-پورفیری هستند و به صورت روانه‌های گدازه‌ای زیر آبی یا گدازه‌های برشی شده در حضور آب (آگلومرا)، یا خاکسترها و قطعات سنگی آتشفشنایی (توفیت‌ها) ظاهر پیدا کرده‌اند و با سنگ‌های رسویی با طیف ترکیبی آهک (نومولیت‌دار)، مارن، شیل و ... همراهند. آندزیت‌ها و آندزیت‌های بازالتی به سری‌های ماقمایی آهکی-قلیایی با پتاسیم متوسط تا بالا تعلق دارند. تغییرات عناصر فرعی و الگوی عناصر خاکی نادر، غنی شده از عناصر LREE نسبت به HREE، به همراه غنی‌شدگی در LILE و تهی‌شدگی بعضی عناصر HFSE بیانگر وابستگی آنها به مناطق فروزانش است و تهی‌شدگی از Nb و تا حدودی Ti و مرکز بالای Ba، K، Pb و Th بیانگر آلایش پوسته‌ای ماقمایی سازنده این سنگ‌ها می‌باشد. شواهد ژئوشیمیایی بیانگر آنست که ماقمایی سازنده این سنگ‌ها، از ذوب‌بخشی گوه گوشتیه‌ای تا حدودی دگرنهادی شده به وسیله‌ی سیالات سرچشمه گرفته از آب‌زدایی ورقه اقیانوسی دگرگون شده در رخساره آمفیبولیت و رسوبات فرورونده همراه آن، حاصل شده‌است. با توجه به ویژگی‌های زمین‌شناسی منطقه‌ای، فروزانش رو به شمال ورقه اقیانوسی نئوتیسیس سیزوار (شاخصه درونه) به زیر حاشیه جنوبی ورقه توران، به تشکیل سنگ‌های آتشفشنایی کمان قاره‌ای شمال‌غرب بردسکن منجر شده است.

واژه‌های کلیدی: آندزیت؛ کمان آتشفشنایی؛ حاشیه فعال قاره‌ای؛ آلایش ماقمایی؛ بردسکن.

[۵]. نوار آتشفشنایی - نفوذی شمال پهنه ساختاری ایران مرکزی، در لبه‌ی شمال‌شرقی منطقه‌ی ساختاری ایران‌مرکزی، از شمال سمنان در غرب تا خواف در شرق و شمال‌شرقی ایران ادامه دارد [۶]. در بخش شمالی ایران‌مرکزی که منطقه‌ی ابری بخش از آن است رویدادهای ماقمایی به صورت سنگ‌های آتشفشنایی، آتشفشنایی رسویی و توده‌های آذرین نیمه عمیق در آن دیده می‌شوند [۷]. این نوار آتشفشنایی و آتشفشنایی رسویی در نقاط زیادی به وسیله‌ی توده‌های نفوذی کوچک) با طیف صورت سیل، دایک، گنبد و توده‌های نفوذی کوچک) با طیف ترکیبی متنوع، قطع شده‌اند [۶] و می‌توان گفت فروزانش

مقدمه

سرزمین ایران به عنوان بخشی از نواحی مرکزی- غربی سامانه کوه‌زایی آلب- هیمالیا به دلیل تحمل زمین ساخت خاص نواحی همگرای صفحات [۱] جولانگاه فعالیت‌های ماقمایی (آتشفشنایی و نفوذی) گستره‌ای، به ویژه در دوران سنوزوئیک، بوده است [۲]. نقشه‌های زمین‌شناسی [۳] و ماقمایی ایران [۴] اهمیت این رخداد را به خوبی بازتاب داده‌اند. همراه با همگرایی مداوم صفحه‌ی اوراسیا- عربستان و ضخیم و کوتاه شدن پوسته‌ی قاره‌ای ایران فعالیت‌های ماقمایی از اوایل دوران سوم تا زمان حال در ایران‌مرکزی و البرز ادامه داشته است

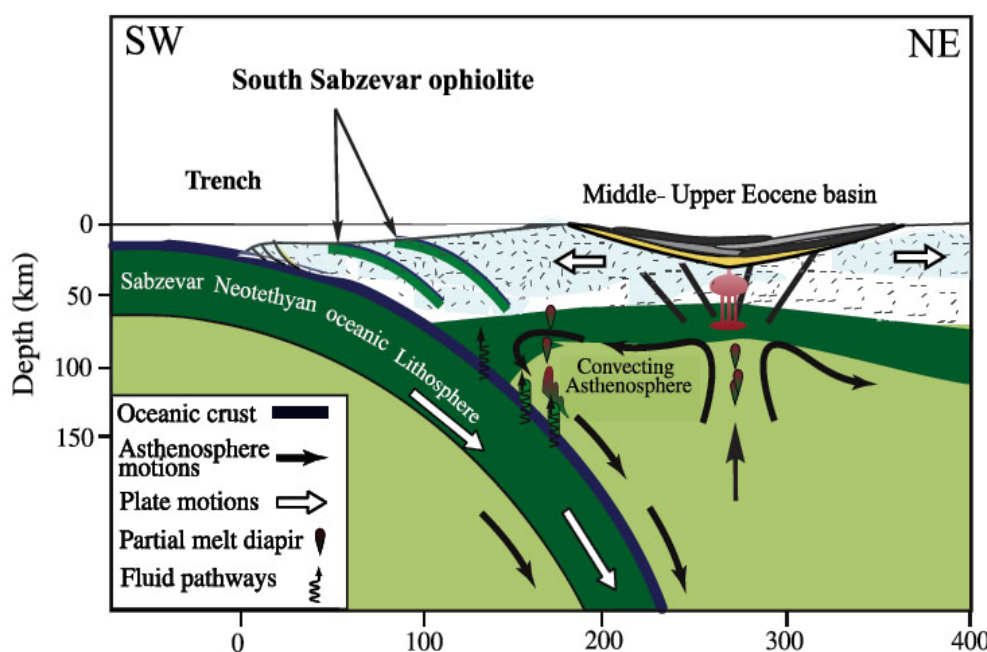
نقشه ۱:۱۰۰۰۰ درونه، ۱۰۰ نمونه از واحدهای سنگی منطقه به منظور شناسایی ترکیب سنگشناسی و روابط بافتی تهیه شدند و مورد بررسی قرار گرفتند. تعداد ده نمونه از سنگهای منطقه به عنوان نماینده برای بررسی عناصر اصلی و کمیاب به روش ICP پس از تلفیق ۰/۲ گرم از پودر سنگ با ۱/۵ گرم LiBO₂ و انحلال در ۱۰۰ میلی لیتر HNO₃ ۵٪ و افت گرما (LOI) با خشک کردن نمونه‌ها در ۱۰۰۰ درجه سانتی‌گراد مورد بررسی و عناصر خاکی نادر به روش ICP-MS در آزمایشگاه کانساران بینالود انجام گرفت. حد تشخیص حدود ۰/۰۱-۰/۰۱ ppm برای اکسیدهای اصلی و ۰/۱-۰/۰۱ ppm برای عناصر کمیاب و ۰/۰۵-۰/۰۱ ppm برای عناصر خاکی نادر بوده‌اند.

زمین‌شناسی و سنگ‌نگاری سنگ‌های دربرگیرنده کانسار
مس ابری در بخش شمالی پهنه ساختاری- رسوی ایران مرکزی، زیر پهنه سبزوار و در گستره نقشه ۱:۱۰۰۰۰ درونه [۹] قرار گرفته است. گستره مورد بررسی بین دو گسل بزرگ درونه در جنوب و گسل بینالود در شمال، محصور شده‌اند و عموماً از سنگ‌های آتشفشنایی و آتشفسنایی- رسوی با سن اوسن [۸] تشکیل شده است. واحدهای سنگی رخمنوی یافته در گستره کانسار مس ابری در نقشه‌ی زمین‌شناسی گستره-ی معنی (شکل ۲) نشان داد شده‌اند.

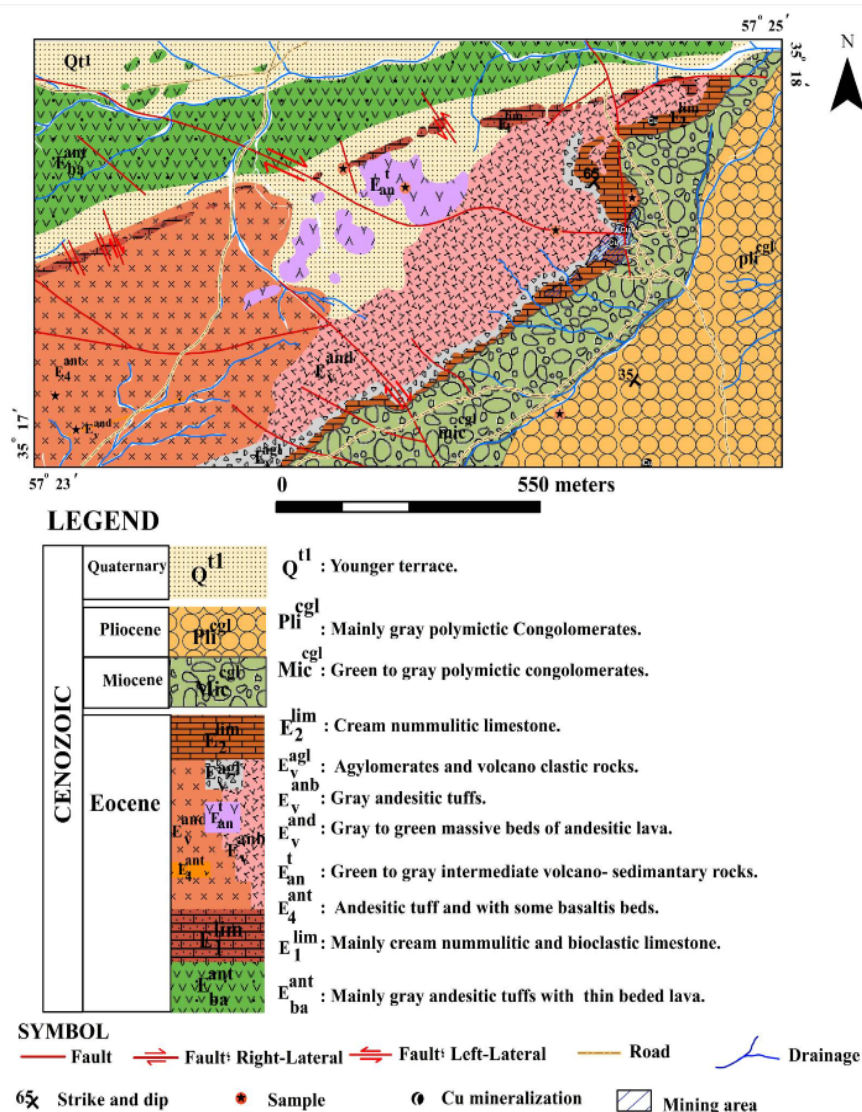
رو به شمال ورقه اقیانوسی نئوتیس سبزوار (شاخه درونه) به زیر حاشیه جنوبی ورقه توران، به تشکیل سنگ‌های آتشفسنایی کمان قاره‌ای شمال‌غرب برداشتن منجر شده است [۸]، (شکل ۱). اوج فعالیت‌های آتشفسنایی در اوسن میانی- بالایی بوده و در نهضن و کواترنر در بسیاری از بخش‌های ایران مرکزی و سبزوار ادامه داشته اما ظاهراً از شدت آنها کاسته شده است. دنباله‌های اوسن بیشتر متشكل از سنگ‌های آتشفسنایی و آتشفسنایی- رسوی و رسوباتی است که بر روی سنگ‌های افولیتی کرتاسه بالایی قرار گرفته‌اند [۸]. منطقه‌ی مورد بررسی در استان خراسان رضوی، در ۵۰ کیلومتری شمال‌غرب برداشتن، در ۲۰ کیلومتری شمال روستای درونه، بین عرض-های جغرافیایی ۴۲°۱۷' تا ۳۵°۱۸' ۳۲" شمالی و طول-های جغرافیایی ۴۳°۲۳' تا ۵۷°۲۵' ۱۱" شرقی، که بخشی از نوار ماقمایی شمال پهنه ایران مرکزی است. در این بررسی ویژگی‌های ژئوشیمیایی، سنگ‌شناسی و جایگاه زمین- ساختی سنگ‌های آتشفسنایی- رسوی میزان کانسار مس ابری مورد بحث و بررسی قرار گرفته است.

روش بررسی

در این پژوهش، پس از تهیه نقشه‌ی زمین‌شناسی ۱:۵۰۰۰ منطقه با استفاده از تصاویر ماهواره‌ای و پیمایش صحرایی و



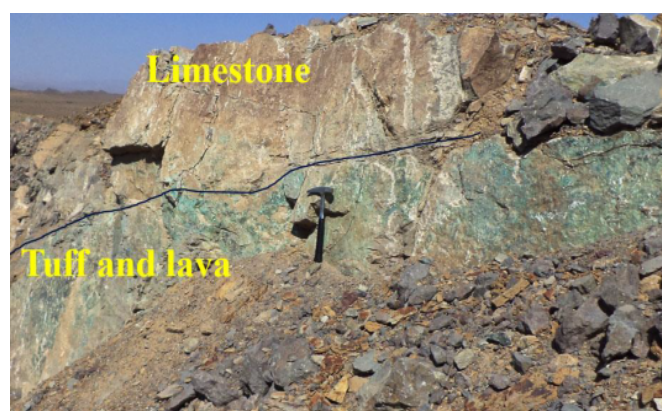
شکل ۱ مدل نموداری بر گرفته از بررسی‌های قاسی و رضایی [۸]، فروراش رو به شمال ورقه اقیانوسی نئوتیس سبزوار (شاخه درونه) به زیر حاشیه جنوبی ورقه توران، به تشکیل سنگ‌های آتشفسنایی کمان قاره‌ای شمال‌غرب برداشتن منجر شده است.



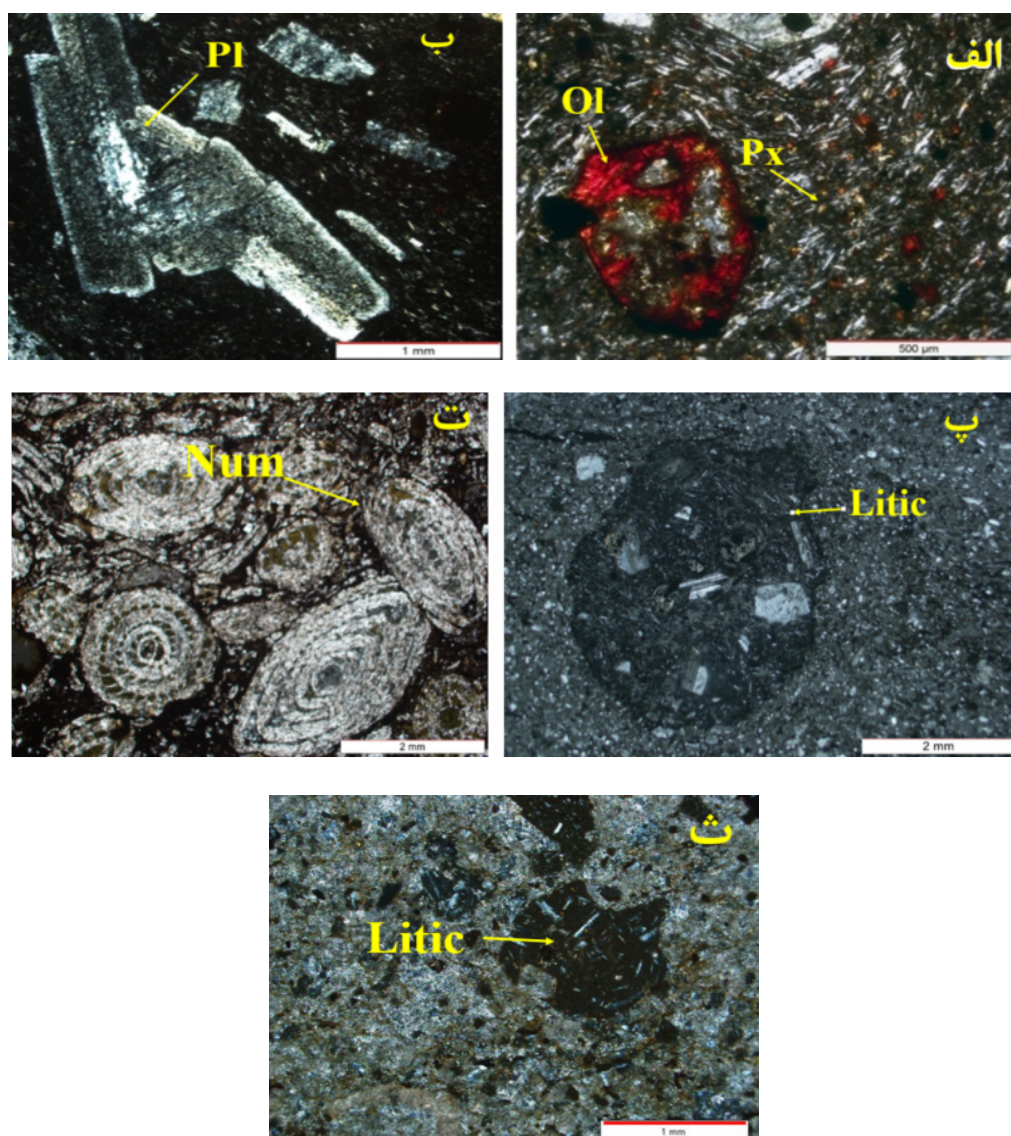
شکل ۲ نقشه زمین‌شناسی ۱:۵۰۰۰۰ منطقه ابری بر مبنای تصاویر ماهواره‌ای و نقشه ۱:۱۰۰۰۰۰ درونه.

ساختمان کلی لایه‌ای، همثیب و همرونده با واحدهای رسوی رخمنون دارند (شکل ۳). ساخت و بافت پورفیری حاصل از فنوکریستهای پلاژیوکلاز و پیروکسن در زمینه ریزدانه متشکل از شیشه و ریزبلورهای پلاژیوکلاز (در واحد آندزیت و آندزیت بازالت) و پیروکسن و الیوین ایدنگزیتی شده، در زمینه‌ی ریزدانه و میکرولیتی (در واحد آندزیت- بازالت) در مقیاس میکروسکوپی مشاهده می‌شوند. (شکل ۴ الف). اغلب فنوکریستها به کانه‌های ثانویه نظریت کلسیت و کلریت، دگرسان شده‌اند. بافت‌های جریانی، غربالی و گلومروپورفیری در واحد آندزیتی و آندزیت بازالتی نیز قابل مشاهده‌اند (شکل ۴ ب). کانه‌زایی اکسیدی و سولفوری مس در این واحد بصورت پرکننده درزه‌ها، شکستگی‌ها و گسل‌ها مشاهده می‌شوند.

براساس بررسی‌های صحرایی و آزمایشگاهی انجام گرفت، واحدهای سنگی گستره کانسار مس ابری عبارتند از: ۱) مجموعه گذاره‌های زیردریایی با طیف ترکیبی آندزیت، بازالت و آندزیت بازالت پورفیری، ۲) مجموعه آذرآواری شامل توف، بلوری توف، لیتیک توف، و آگلومرا، ۳) مجموعه رسوی متشکل از آهک نومولیتدار، مارن، شیل، سیلتستون و کنگلومرا. کانه‌های مس‌دار با ترکیب کانی‌شناسی مالاکیت، کالکوسیت، کوولین و کالکوپیریت ماده معدنی به صورت رگه‌ای و رگچه‌ای به صورت همرونده با طبقات گدازه‌ها، توفیت‌ها و سنگ‌های رسوی تشکیل شده است (شکل ۳). گدازه‌های زیردریایی: این مجموعه با ترکیب آندزیت، بازالت و آندزیت بازالت به رنگ‌های خاکستری تیره، سبز و سرخ، با



شکل ۳ کانه‌زایی مس، به صورت همشیب و همووند با طبقات دربرگیرنده، در مرز واحد آهکی با سنگ‌های آذرآواری و گدازهای دیده می‌شود.



شکل ۴ (الف) پیروکسن و الیوین ایدنگزیتی شده، در زمینه دانه‌ریز و میکرولیتی آندزیت بازالتها. ب) پلازیوکلازها با بافت‌های غربالی و گلومروپورفیری در واحد آندزیتی پ) کریستال توف و لیتیک توف با ترکیب آندزیت. ت) حضور فسیل نومولیت در داخل واحد آهک. پ) قطعات سنگی با ترکیب آندزیت در داخل واحد آهک. Px: پیروکسن، Ol: الیوین، Litic: قطعات سنگی، Num: فسیل نومولیت.

قلیایی در سنگ‌های هوازده و دگرسان شده بالاست، به منظور تعیین ترکیب و ماهیت سنگ‌های مورد نظر، از نمودارهای مربوط به عناصر کمیاب کم تحرک از جمله Zr, Ti, Nb و Y نیز استفاده شد (شکل ۵ ب)، براساس نمودار Zr/Ti در مقابل Y/Nb [۱۳]، سنگی آتشفشانی میزان کانسار مس ابری دارای ترکیب آندزیتی، بازالت و آندزیت‌بازالت هستند. بنابر (جدول ۱)، مقدار SiO_2 سنگ‌های آتشفشانی منطقه ابری تقریباً بین ۵۶ تا ۶۳ درصد وزنی هستند. در شکل (۶)، نمونه-های مورد بررسی در نمودار تغییر عناصر اصلی نسبت SiO_2 موسوم به هارکر [۱۴]، کم و بیش در یک راستا قرار گرفته‌اند. هنگامی که ماقماها، فرآیند تبلور جدایشی را بدون آلدگی پوسته‌ای طی می‌کنند، داده‌های مربوط به تجزیه‌ی شیمیایی آنها در نمودار هارکر، یک روند خطی پیوسته را به نمایش می‌گذارند این روند خطی در مورد سنگ‌های مناطق مورد بررسی دیده می‌شود ولی پیوسته نبوده و کمی پراکندگی دارد که این حالت یکی از ویژگی‌های سنگ‌های آتشفشانی در حواشی فعال قاره‌ای است و می‌تواند به آن علت باشد که ماقماها مادر این سنگ‌ها دستخوش آلدگی پوسته‌ای شده‌اند. در نمودار K_2O سنت‌کاری است و می‌تواند به آن علت باشد که ماقماها مادر این سنگ‌ها دستخوش آلدگی پوسته‌ای روشن نیست و پراکندگی نسبت به سیلیس، این روند خیلی روشن نیست و پراکندگی ضعیفی را نشان می‌دهند در حالی که صعودی بودن روند تغییرات سدیم نسبت به سیلیس، نمایان است و می‌توان گفت که پراکندگی در توزیع K_2O تحت تأثیر فرایندهای جدایشی ماقماهی (تبلور بخشی، اختلاط ماقماهی و هضم) است که حین صعود دستخوش آن شده است [۱۵]. در حالی که میزان سدیم کمتر تحت تأثیر این فرآیندها قرار می‌گیرد. مقدار Na_2O و Al_2O_3 روند افزایشی و مقدار CaO , MgO و Fe_2O_3 روند کاهشی را نشان می‌دهند. در واقع این شواهد معرف وقوع فرایند تبلور جدایشی است [۱۶]. کاهش مقدار MgO در مقابل SiO_2 ، به کاهش مقدار کانی‌های مافیک در سنگ‌های افزایش SiO_2 ، به کاهش مقدار کانی‌های مافیک در فازهای آندزیت و آندزیت‌بازالتی منجر شده است. MgO در فازهای مافیک نظری الیوین و پیروکسن مت مرکز شده است [۱۷]. مقدار CaO نمونه‌ها با افزایش SiO_2 کم و بیش کاهش می‌یابد که این امر می‌تواند به تحول پلازیوکلازها از کلسیک به سدیک حین تبلور بخشی ماقما باشد.

مجموعه آذرآواری: روی گدازه‌ها، یک واحد آذرآواری با سمترا برای حدود ۲۰۰ تا ۳۰۰ متر و در پاره‌ای نقاط تا ۵۰۰ متر به صورت همشیب و همرونده با آنها قرار می‌گیرد. براساس رده‌بندی فیشر و اشمینک [۱۰] این سنگ‌ها در رده توف، بلوری‌توف، لیتیک‌توف و آگلومرا قرار می‌گیرند. قطعات آتشفشانی در حد خاکستر، بلور و قطعه سنگ با ترکیب آندزیت، بازالت و بازالت آندزیتی سازنده‌ی این سنگ‌ها هستند (شکل ۴ ب) این سنگ‌ها در مشاهدات صحرایی به رنگ خاکستری متمایل به سبز و سرخ ظاهر می‌شوند. دگرسانی شدیدی از نوع کلریتی، سریسیتی، آرژیلیتی و زئولیتی بر این سنگ‌ها تحمیل شده‌اند. کانی‌زایی مس بیشتر در فضای خالی بین دانه‌ای در مجموعه آذرآواری صورت گرفته است.

واحد رسوبی: این واحد شامل آهک نومولیت‌دار (شکل ۴ ت)، آهک مارنی، شیل و کنگلومرا هستند و با سمترا ۳۰ تا ۵۰ متر، به صورت همشیب روی واحد آذرآواری قرار گرفته است. حضور قطعات سنگی با ترکیب بازالت و آندزیت بازالتی در درون سنگ‌های آهکی، تأییدی بر هم‌زمانی فوران آتشفشانی با رسوب‌گذاری است (شکل ۴ ث). بخشی از کانی‌زایی مس داخل فضاهای خالی و شکستگی‌های موجود در آهک و بیشتر در مرز آن با توف‌ها صورت گرفته است. سنگ‌های آهکی در فرایند کانی‌زایی مس نقش فیلتر ژئوشیمیایی را بازی کرده‌اند.

ژئوشیمی

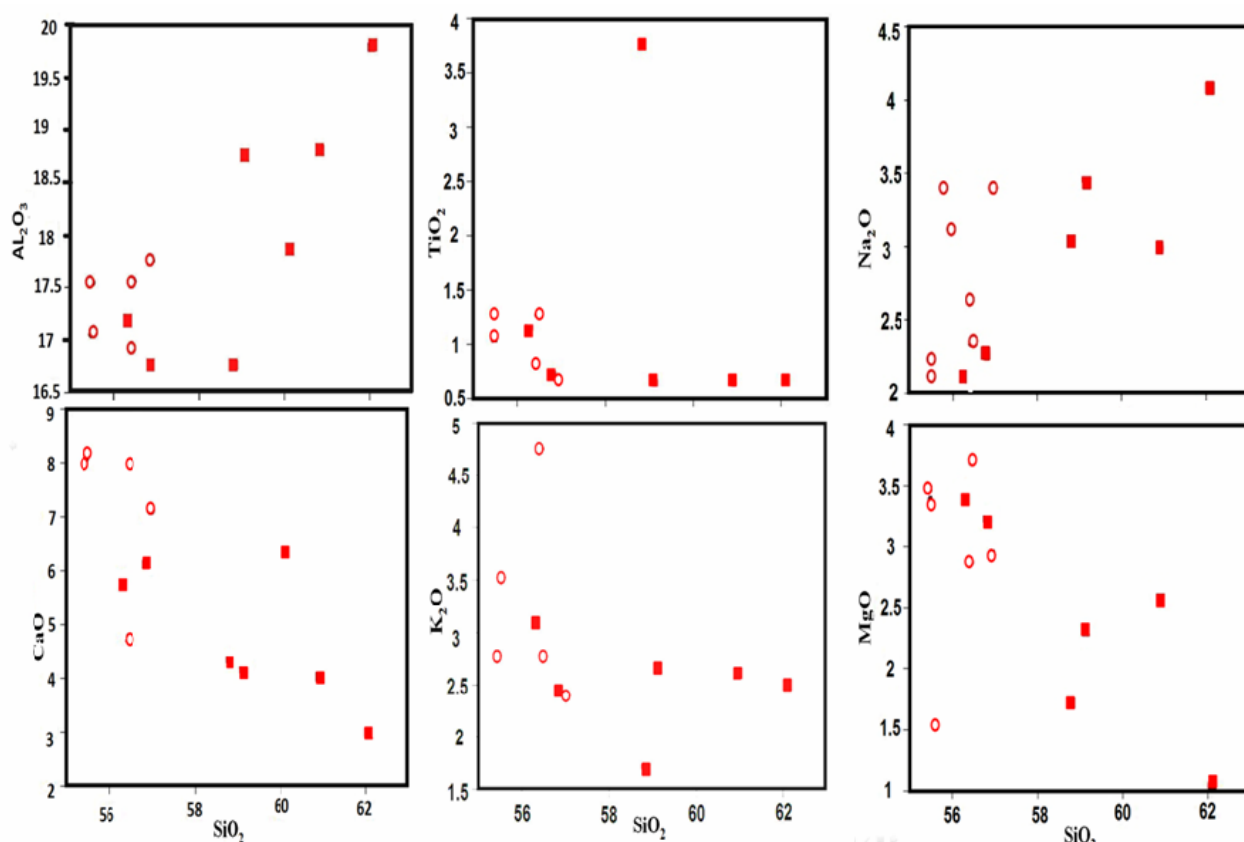
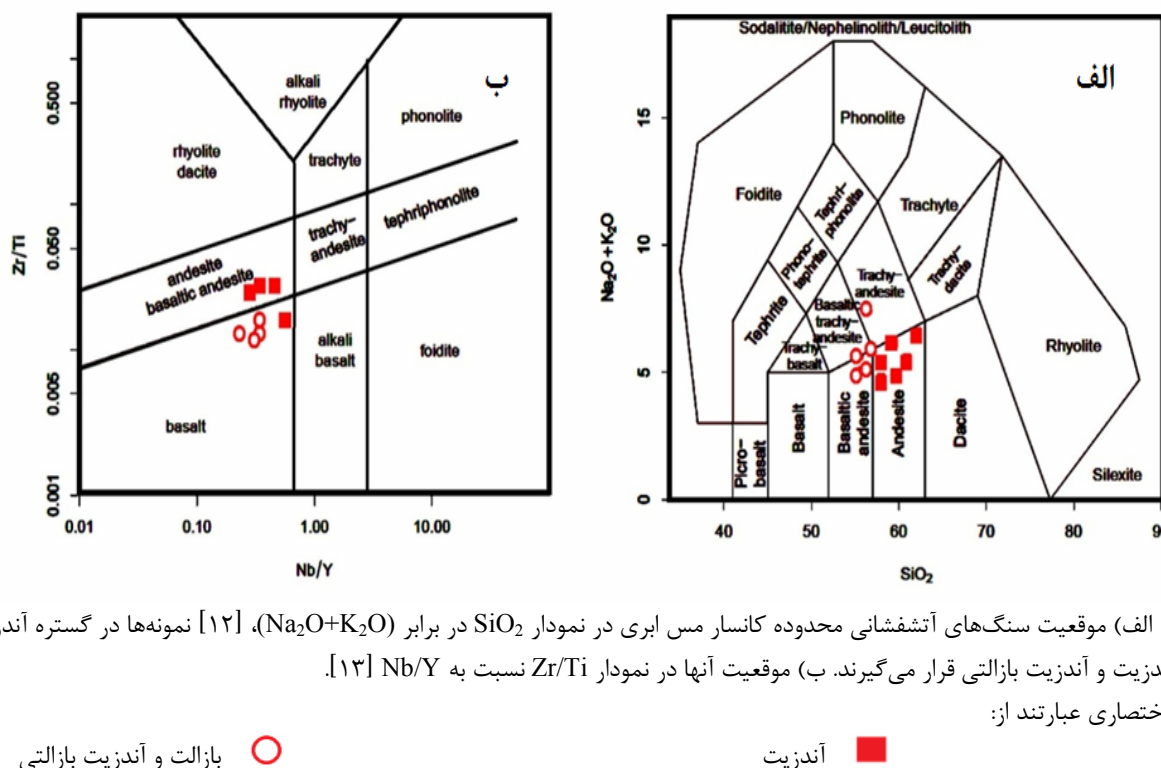
به منظور بررسی سنگ‌زایی، تعیین جایگاه زمین‌ساختی و نامگذاری سنگ‌های دربرگیرنده کانسار، از نتایج آنالیز شیمیایی ۱۱ نمونه سنگ مورد بررسی (جدول‌های ۱ و ۲) استفاده شد. فرایندهای مختلفی نظیر تبلور جدایشی، ذوب‌بخشی، اختلاط ماقماهی و آلایش و هضم پوسته‌ای در رفتار ژئوشیمیایی عناصر اصلی و کمیاب تأثیر می‌گذارند [۱۱]. بر اساس نمودار تغییرات $(\text{Na}_2\text{O}+\text{K}_2\text{O})/\text{SiO}_2$ در مقابل $(\text{Na}_2\text{O}+\text{K}_2\text{O})$ در شکل ۵ (الف). با توجه به گستردگی دگرسانی در سنگ‌های مورد بررسی، سعی شد نمونه‌های دارای کمترین دگرسانی برداشت شوند، با این حال از آنجا که تحرک عناصر

شماره ۱ مقادیر درصدی اکسیدهای اصلی بر حسب درصد وزنی (به روش XRF).

نام سنگ	آندرزیت						بازالت و آندزیت بازالت				
	شماره نمونه	A-1	A-2	A-3	A-4	A-5	A-6	A-7	A-8	A-9	A-10
SiO ₂	۶۲,۱	۵۹,۱	۵۸,۸	۶۰,۹	۵۶,۳	۵۶,۹	۵۵,۵	۵۵,۴	۵۴,۴	۵۶,۸	۵۶,۶
TiO ₂	۰,۷	۰,۶	۳,۸	۰,۶	۱,۱۵	۰,۷	۰,۷	۱,۳	۱,۱	۱,۲	۰,۸
Al ₂ O ₃	۱۹,۸	۱۸,۷	۱۶,۸	۱۸,۹	۱۷,۲۰	۱۷,۸	۱۷,۸	۱۷	۱۷,۵	۱۷,۲	۱۶,۹
Fe ₂ O ₃	۶,۷	۸,۳	۸,۵	۷,۲	۷,۸۹	۹,۳	۸,۳	۸	۸,۶	۷,۹	۱۰,۵
MgO	۱	۲,۳	۱,۷	۲,۶	۳,۴۱	۳	۳	۳,۴	۳,۵	۳,۴	۲,۹
CaO	۳	۴,۲	۴,۳	۳,۹	۵,۷۷	۶,۱	۷,۱	۸,۲	۸	۵,۸	۴,۸
Na ₂ O	۴,۱	۳,۵	۳	۳	۲,۰۸	۲,۲	۲,۴	۲,۱	۲,۲	۲,۱	۲,۷
K ₂ O	۲,۵	۲,۷	۱,۷	۲,۶	۳,۰۶	۲,۵	۲,۴	۳,۵	۲,۸	۳,۱	۴,۸
LOI	۳,۰۷	۲,۲۰	۰,۶	۶,۵۰	۴,۳۶	۲,۱۸	۳,۵۷	۳,۵۷	۲,۸۱	۲,۸۱	۲,۹۰

جدول ۲ مقادیر عناصر فرعی و کمیاب بر حسب PPM (ICP- MS)

نام سنگ	آندرزیت						بازالت و آندزیت بازالت				
	شماره نمونه	A-1	A-2	A-3	A-4	A-5	A-6	A-7	A-8	A-9	A-10
Ag	۲,۴	,۴	۹	۷,۹	۱,۴۰	,۱۰	,۰,۴	,۰,۵	,۰,۱۹	,۰,۸	,۰,۱۹
Pb	۴۸	۹	۱۵	۱۲	۱۰	۸	۱۱	۱۰	۵	۱۳	۵
Cu	۲۲۲۲	۱۲۶۰	۷۵۹۵	۴۲۹۲۲	۱۰۰۰	۱۵۳	۳۴۷	۳۵۴	۷۲	۳۵۲	۸۷,۵
Mo	۱۰	,۰,۸	۱,۰	۱,۹	۳,۷۳	۱,۰۷	۱	,۰,۵	,۱,۵	۱,۳۶	۱,۴۸
Bi	,۰,۰	,۰,۰	,۰,۰	,۰,۲	,۰,۲۰	,۰,۱۶	,۰,۰,۵	,۰,۵	,۰,۱۴	,۰,۲۵	,۰,۱۱
Fe	۴۵۷۸۱	۴۱۳۳۸	۳۵۲۴۲	۴۳۸۶۲	۶۰,۲۰	۶۷۳۰	۴۹۰۰,۱	۵۰,۲۳	۵۴۲۴۲	۴۳۲۶	۵۲۳۰
Co	۶۵,۵	۱۷,۸	۴۵,۹	۲۳,۵	۲۱,۷	۲۸,۳	۲۲,۶	۲۱,۸	۲۲,۴	۲۲,۲	۲۱,۴
Ni	۱,۰,۸	۴۲	۶۱	۳۵	۳۸,۶	۴۶,۶	۴۳	۳۲	۳۲	۲۵,۹۵	۳۱,۲
Ti	۳۸,۱	۴۴,۹	۴۷۷۱	۴۴,۸	۵۰,۰	۵۷,۰	۵۱۶۱	۵۲۰	۴۸۲۱	۴۷۵۲	۴۷,۰
Sb	۱,۵	,۰,۶	,۰,۲۵	,۰,۸	,۰,۵۸	,۰,۱۱	,۰,۲۵	,۰,۲۷	,۰,۳	,۰,۲۵	,۰,۲۰
Tl	۳,۲۵	,۰,۲۶	۱,۰,۲	,۰,۸۹	,۰,۰,۸	,۰,۱۱	,۰,۱۸	,۰,۱۵	,۰,۱۶۲	,۰,۱۴	,۰,۱۴
Li	۴۲	۲۲	۹	۱۹	۱۵,۲	۲۲,۵	۹	۱	۲۲,۵	۱۳,۲۶	۲۵,۳
Be	۲,۷	,۰,۹	۶,۷	۷,۲	۱,۴	۱	,۹,۴	,۸,۴	,۱,۶	,۷,۳	,۱,۴
Na	۲۲,۰	۲۸,۸۳	۳۶۴۴۲	۲۶۲۷	۲۲,۰	۴۲۷۰	۲۴۸,۸	۲۲۷,۲	۲۲۳	۲۵,۰	۲۲۴,۰
K	۱۴۸۰	۲۳۱۹۵	۲۲۶,۰	۲۱۶۰	۲۶۰	۲۶۰	۲۴۱۰	۲۱۵۹۱	۲۱۷۲۲	۲۶۷۴۱	۲۲۴۱۵
Ca	۲۳۵۵۱	۳۰,۰	۲۴۴۸۳	۲۹۳۸۴	۳۶,۰	۵۷۳۰	۶۴۱۵۷	۶۵۱۴	۳۸۵۲	۴۲۵۱۲	۳۹,۰
Mg	۱۴۵۵۷	۱۲۲۵۵	۵,۰,۷	۹۲۳۵	۲۶۷۰	۲۵۴۰	۱۷,۰۵	۱۶,۰۲	۲۷۶۲	۱۸۲۶	۲۸,۰
Al	۶۷۲,۰	۷۵۵,۷	۶۳۰۵۲	۶۴۸۰۱	۷۱۱۰	۸۴۱۰	۹,۰۴۱	۸,۰۹۱	۷,۰۰	۸,۰۷۵	۸,۰۹۰
Ga	,	,	,	,	۱۹,۷	۱۹,۴	۱۴,۸	۱۳,۸	۱۵,۶	۱۲,۲	۱۴,۸
Cs	۱,۷	۲,۲	۱,۲	۲,۳	,۰,۳۸	۱۱,۱	,۰,۹	,۰,۸۹	,۰,۷	,۰,۳۶	,۰,۶۸
Rb	۳,۰	۸,۳	۳,۰	۵,۹	۸,۲,۶	۳۱,۱	۷۱	۷۳	۷۴,۲	۷۲,۳	۷۷,۵
Ba	۲۲۹۳	۸۴۱	۳۳۷	۳۳۰	۳۲۹	۴۱۸	۲۵,۰	۲۴۵	۲۴۵	۲۰	۲۴۰,۸
Sr	۴۶۴	۶۱۱	۵۲۶	۵۷۱	۵۹۷	۴۴۴	۵۶۱	۴۴۸	۴۵۲	۶۲۱	۴۴۹
HSFE											
Th	۴,۰,۶	۴,۶۸	۳,۷۲	۴,۱۷	۰,۶	۲,۷	۴,۱	۴,۲	۳,۸۹	۳,۷۵	۴,۷
U	۹	۱,۶	۱,۸۶	۱,۷	۲,۱	,۰,۳	۱,۱۶	۱,۲	۱	,۱,۶	۱,۵
Y	۱۱,۹	۱۵۳	۱۴,۹	۱۴,۴	۲۳,۷	۲۰,۷	۱۶	۱۸	۲۱,۲۴	۱۸,۲	۲۱,۲
Zr	۰,۹	۱۱,۴	۱۱,۰	۱۱,۰	۹,۸,۸	۶۱	۸۵	۷۶	۸۷,۲۳	۶۳	۸۷,۸
Hf	۱,۱۶	۳	۲,۷۶	۲,۸۲	۲,۹۲	۱,۹۲	۱,۹۴	۱,۷۳	۲,۲۲	۱,۶۳	۲,۲۲
Nb	۰,۵	۷,۲	۰,۷	۶	۸,۴	۴,۳	۰,۹	۶,۹	۶,۸	۶,۵	۷,۴
Ta	,۰,۳۳	,۰,۴۲	,۰,۲۶	,۰,۳	۱,۱۲	,۰,۶۵	,۰,۳۹	,۰,۵۵	,۰,۵۶	,۰,۷	,۰,۶۶
P	۵۸,۳	۱,۰,۹	۱۱۴۹	۱۲۴۰	۲۷۰	۱۶۰	۱۸۷۲	۱۷۲۳	۲۴۳۵	۱۹۲۳	۲۵,۰
REE											
La	۱۴	۱۲	۹	۱۱	۲۱,۷	۱۵,۱	۱۴	۱۶	۱۷,۱۶	۱۵,۲	۱۸,۴
Ce	۲۶	۳۰	۲۵	۲۷	۴۴,۲	۳۱,۱	۳۲	۳۰	۳۹,۸	۳۰,۱	۴۰,۹
Pr	۳۷,۸	۴۹,۵	۳۳۶	۳۹۴	۵۴۴	۳۹۱	۴۵۱	۳۹۲	۴۲۱	۴۹,۵	۵۰,۱
Nd	۱۲,۶	۱۶,۶	۱۳	۱۳,۸	۲۱,۷	۱۷,۴	۱۶,۳	۱۷,۳	۱۸,۳۵	۲۲,۳	۲۱,۱
Sm	۲,۸۱	۳,۸	۳,۱۳	۳,۱۶	,۵,۰,۸	۴,۲۶	۳,۴۴	۳,۴۳	۴,۲۱	۳,۵۶	۴,۳۴
Eu	۱,۰,۷	۱,۱۲	۱,۰,۴	,۰,۹۹	۱,۰,۲	۱,۳۹	۱,۱۸	۱,۲۵	۱,۲۵	۱,۱۹	۱,۳۳
Gd	۲,۹۳	۳,۷۴	۳,۴۲	۳,۵	۵,۲۲	۲,۶۵	۳,۶۸	۳,۷۵	۴,۸۵	۳,۶۲	۴,۶۱
Tb	,۰,۴۲	,۰,۵۱	,۰,۴۸	,۰,۴۷	,۰,۷۱	,۰,۶۴	,۰,۵۳	,۰,۴	,۰,۴۱	,۰,۴۸	,۰,۴۳
Dy	۲,۵۳	۳,۳	۳,۲۱	۳,۱۴	۴,۰,۲	۲,۶۵	۲,۳۵	۲,۳۵	۳,۷۶	۳,۸	۳,۹۳
Ho	,	,	,	,	,۰,۸۵	,۰,۷۸	,۰,۷۳	,۰,۶۳	,۰,۵۲	,۰,۶۳	,۰,۷۳
Er	۱,۱۷	۱,۶۵	۱,۶۴	۱,۵۳	۲,۵۲	۲,۲۵	۱,۷۶	۱,۶۷	۲,۲۶	۱,۸۷	۲,۳۸
Tm	,۰,۱۹	,۰,۲۴	,۰,۲۷	,۰,۲۵	,۰,۳۲	,۰,۳۳	,۰,۲۷	,۰,۲۷	,۰,۳	,۰,۲۵	,۰,۳۱
Yb	,۰,۹	۱,۷	۱,۱۷	۱,۰	۲,۴	۲	۱,۷	۲,۱	۱,۹	۲	۲,۲
Lu	,۰,۱۹	,۰,۲۶	,۰,۲۷	,۰,۲۴	,۰,۴۲	,۰,۳۹	,۰,۲۵	,۰,۲۵	,۰,۳۳	,۰,۳۲	,۰,۳۴



شکل ۶ تغییرات مقادیر اکسیدهای اصلی در برابر درصد وزنی SiO_2 در سنگ‌های آتشفشاوی در برگیرنده کانسوار مس ابری [۱۴]. با افزایش SiO_2 میزان CaO و P_2O_5 و FeO و MgO کاهش و Al_2O_3 و Na_2O افزایش نشان می‌دهند.

طور کلی مقادیر بالای Th در این سنگ‌ها می‌تواند تحت تأثیر دو عامل باشد: ۱) آلودگی ناشی از آلایش با پوسته بالایی و ۲) تأثیر سیالات آزاد شده از پوسته اقیانوسی فرورونده. ماقماهای حواشی قاره‌ای فعال درجات بالاتری از غنی‌شدگی عناصر خاکی نادر ناسازگار که در مقایسه با ماقماهای کمان‌های جزیره‌ای نشان می‌دهد که ممکن است بازتاب تأثیر مشترک سرچشمۀ گرفتن از یک خاستگاه گوشه‌ای غنی‌شده و آلایش پوسته‌ای باشد. بر اساس نمودار یاد شده، نمونه‌های مورد بررسی در گستره‌ی آهکی-قلیایی تا شوشوئیتی و در محیط کمان‌قاره‌ای قرار گرفته و خاستگاهی وابسته به گوشه‌غنى-شده همراه با تأثیر سیالات منطقه فروراش را نشان می‌دهند. بنابراین طبق این نمودار محیط تکتونوماگمایی منطقه‌ی مورد بررسی را می‌توان حاشیه فعال قاره‌ای معروفی کرد از نسبت Zr/Y نیز می‌توان برای تشخیص جایگاه زمین‌ساختی استفاده کرد [۲۵]. اگر در گدازه‌ها نسبت یاد شده بیش از ۳ باشد، سنگ‌های مورد نظر به کمان‌های آتشفسانی قاره‌ای تعلق دارند و اگر این نسبت کمتر از ۳ باشد، آنها به کمان‌های آتشفسانی اقیانوسی، تعلق دارند. سنگ‌های آتشفسانی میزبان کانسار مس ابری این نسبت برابر است با ۴/۰ که در گروه کمان‌های آتشفسانی قاره‌ای قرار می‌گیرند.

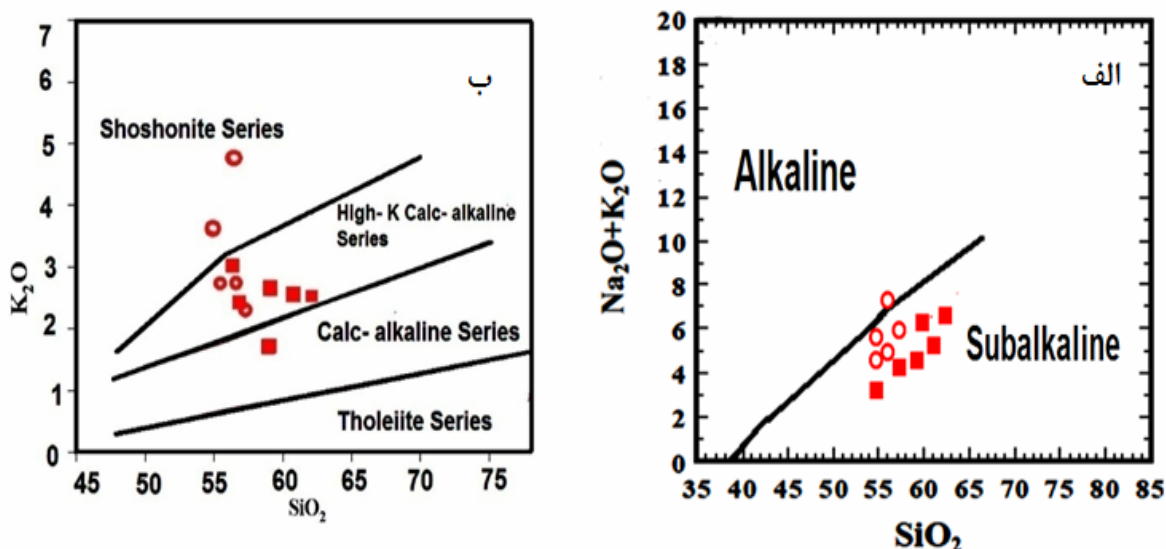
عوامل کنترل کننده ماقماتیسم در منطقه مورد بررسی
از عوامل کنترل کننده ماقماتیسم در کمان‌های ماقمایی می-توان به گوه گوشه‌ای، ورقه اقیانوسی فرورونده، رسوب‌های فرورونده، ضخامت پوسته و شیب ورقه فرورونده اشاره کرد. در این بخش به توصیف برخی از این عوامل احتمالی کنترل کننده ماقماتیسم در منطقه مورد بررسی می‌پردازیم.
از نمودار Rb/Y – Nb/Rb می‌توان برای تشخیص غنى-شدگی به وسیله سیالات در منطقه فروراش یا آلودگی پوسته-ای استفاده کرد [۲۶] (شکل ۹ الف). بر اساس، این نمودار ماقمایی سازنده سنگ‌های مورد بررسی از ذوب‌بخشی گوه گوشه‌ای غنى شده واقع در بالای ورقه اقیانوسی فرورونده که تا حدودی دستخوش آلایش پوسته‌ای شده است، ریشه گرفته‌اند.

تعیین سری ماقمایی

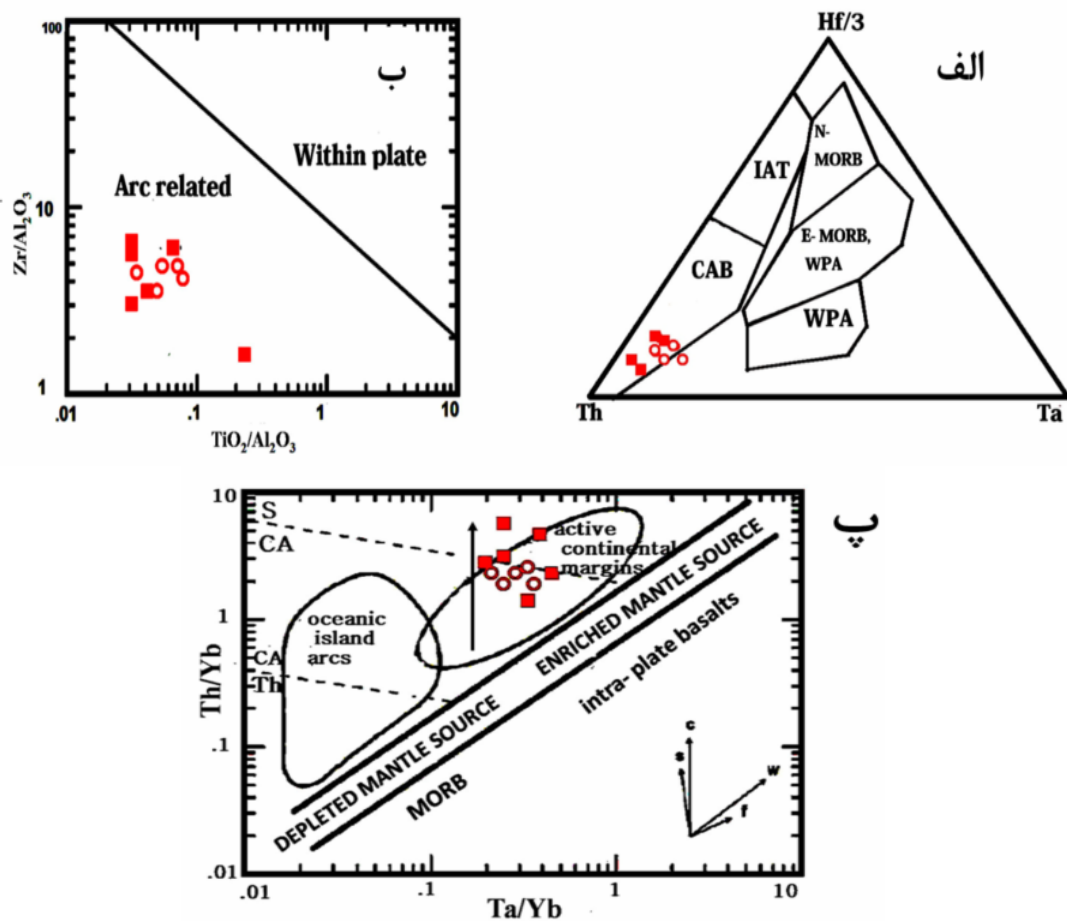
بر اساس نمودارهای $\text{Na}_2\text{O} + \text{K}_2\text{O}$ در مقابل SiO_2 [۱۸] و K_2O در مقابل SiO_2 [۱۹] شکل (۷ الف و ب) سنگ‌های مورد بررسی در قلمروهای شبه‌قلیایی، آهکی قلیایی با پیتاسیم متوسط تا بالا و به ندرت در قلمرو سری شوشوئیتی قرار می‌گیرند.

جایگاه زمین‌ساختی

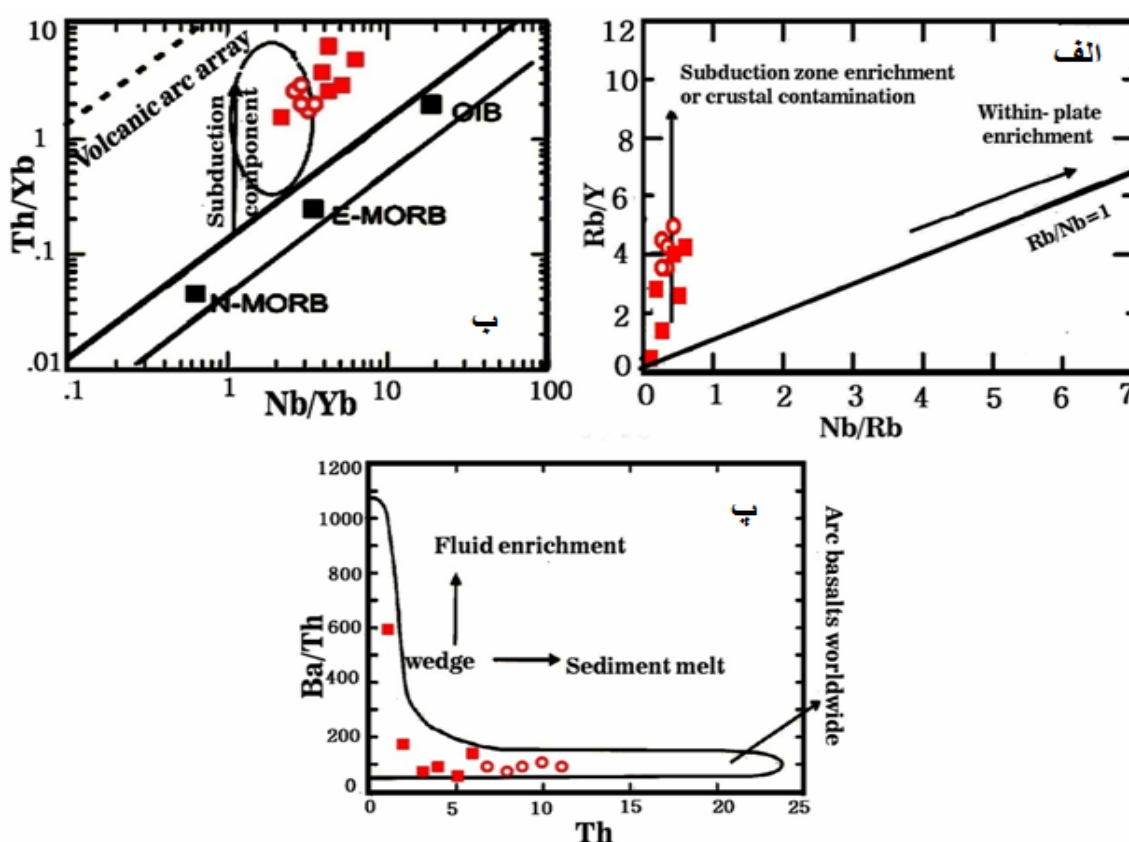
به منظور تعیین محیط زمین‌ساختی از نمودارهای مبتنی بر پایه‌عناصر کمیاب، نسبت‌های بین آنها و عنصر کم تحرک استفاده شد. مقادیر بالاتر از ۲۸ نسبت Ba/Nb و بالاتر از ۳ نسبت Ba/La، نشان‌دهنده جایگاه کمان‌قاره‌ای برای سنگ‌های آذرین است [۲۰]. در نمونه‌های مورد بررسی، مقادیر نسبت-های یاد شده به ترتیب بین ۶ تا ۳۱ و ۱۳ تا ۱۰۲ تغییر می-کنند. با توجه به شکل ۸ الف، [۲۱] همه نمونه‌ها، در گستره کمان‌قاره‌ای (CAB) قرار می‌گیرند. از آنجا که نمونه‌ها نزدیک به رأس Th و زیر خط جداکننده $\text{Hf}/\text{Th} = 3$ (خط جداکننده مرز بین CAB و IAT) قرار گرفته‌اند، همه آن‌ها دارای ماهیت آهکی-قلیایی هستند. همچنین به منظور تفکیک گستره‌های کمانی از درون صفحه‌ای، از نمودار $\text{Zr}/\text{Al}_2\text{O}_3$ در مقابل $\text{TiO}_2/\text{Al}_2\text{O}_3$ استفاده شده است [۲۲] (شکل ۸ ب). بر اساس این دو نمودار سنگ‌های آتشفسانی منطقه ابری در گستره‌ی کمان‌های ماقمایی وابسته به فرورانش قرار می‌گیرند. از دیدگاه زمین‌ساختی ورقه‌ای، مرزهای همگرا از جمله حاشیه فعال (CAB) و کمان‌های جزیره‌ای یکی از جایگاه‌های تشکیلی سری ماقمایی آهکی-قلیایی پیتاسیم متوسط تا بالا محسوب می‌شوند. چنان‌که در شکل ۸ الف دیده می‌شود نمونه‌ها در گستره (CAB) قرار گرفته‌اند. برای جدایی کمان‌ماگمایی حاشیه‌ای فعال قاره‌ای از نوع کمان‌های جزیره‌ای، از نمودارهای Th/Yb در مقابل Ta/Yb و [۲۳] استفاده شد (شکل ۸ پ). در نمودار Th/Yb در مقابل Ta/Yb ، آلودگی Ta/Yb پوسته‌ای سبب افزایش Th/Yb در مقابل Ta/Yb در نمودار Th/Yb در مقابل Ta/Yb می‌شود که ناشی از فراوانی بیشتر Th نسبت به Ta در سنگ‌های پوسته‌ای است [۲۴]. به



شکل ۷ تعیین سری ماقمایی سنگ‌های آتشفشنانی ابری با استفاده از نمودارهای ارائه شده: (الف) نمودار $Na_2O + K_2O$ در مقابل به SiO_2 [۱۸]. (ب) نمودار K_2O در مقابل SiO_2 [۱۹].



شکل ۸ (الف) تعیین محیط‌های زمین‌ساختی سنگ‌های آتشفشنانی مورد بررسی با استفاده از نمودار $Hf/3 - Th - Ta$ [۲۱]. (ب) جدایش گستره‌های آتشفشنانی ازدرو صفحه‌ای با استفاده از نمودار Zr/AL_2O_3 در مقابل TiO_2/AL_2O_3 [۲۲]. (پ) محیط تکتونیکی سنگ‌های منطقه و تفکیک کمان ماقمایی حاشیه فعال قاره‌ای از نوع کمان‌ها جزیره‌ای براساس: تغییرات Th/Yb در برابر Ta/Yb [۲۲].



شکل ۹ (الف) موقعیت سنگ‌های منطقه‌ی مورد بررسی در نمودار Y/Rb در برابر Nb/Rb [۲۶]. (ب) نمودار Th/Yb در برابر Nb/Yb [۲۷]. (پ) تعیین نقش رسوبات فروانده با استفاده از نمودار Ba/Th در برابر Th [۳۰].

حاشیه فعال قاره‌ای است و می‌تواند در اثر آلایش پوسته‌ای و دگرنهادی به‌وسیله‌ی سیالات آزادشده از لیتوسfer اقیانوسی فرورونده بوجود آمده باشد [۲۹].

یکی دیگر از فاکتورهای مؤثر در تعیین ژنز سنگ‌های منطقه، رسوب‌های فروانده شده هستند. از آنجایی که در تعیین نقش رسوبات فروانده در سیستم کمان‌های ماقمایی و استهه به فورانش، از اهمیت به سزاپی برخوردار است، برای تعیین نقش رسوب‌های فروانده شده از نمودار Ba/Th در مقابله Th استفاده شد [۳۰] (شکل ۹ پ). چنانکه این شکل نشان می‌دهد نمونه‌های منطقه مورد بررسی میزان نسبتاً بالای Th و نسبت پایینی از Ba/Th را نشان می‌دهند که احتمالاً ناشی از نقش رسوب‌های فروانده در تشکیل ماقمای مادر این سنگ‌هاست. گدازه‌های حاصل از ذوب ورقه فروانده شده و یا رسوبات فروانده شده، دارای نسبت بالایی از $\text{Nb}/\text{Zr} > 0.05$ هستند [۳۱]. در نمونه‌های مورد نظر، میانگین نسبت Nb/Zr ۰.۰۷۸ محاسبه شده است. به طور کلی می‌توان گفت کاهش

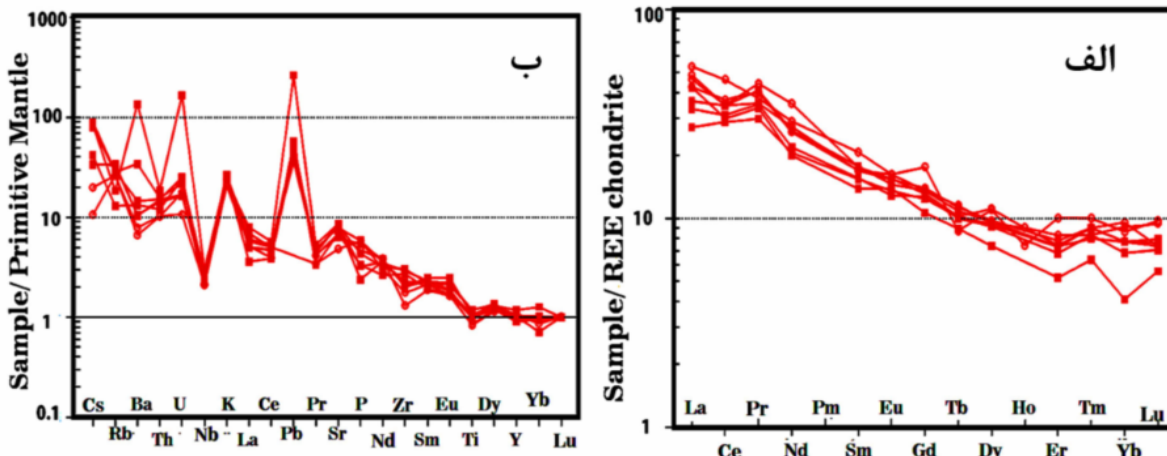
همچنین از نمودار Nb/Yb در برابر Th/Yb [۲۷] (شکل ۹ ب)، برای تعیین شکل‌گیری‌های ژنتیکی سنگ‌های مورد بررسی استفاده شده است. قلمرو سنگ‌های جزایر قوسی و حاشیه فعال قاره‌ای (ACM) در نمودار مشخص شده است. نوار باریک، گستره‌ی ترکیبات مختلف گوشته را نشان می‌دهد. در این نمودار Yb به عنوان یک فاکتور بهنجارکننده برای Nb و Th عمل می‌کند. Nb دارای ضرایب جدایش مشابه در بلور و گدازه هستند [۲۷]. جهت بردار به ترتیب از پایین به بالا در این نمودار غنی‌شدنی در اثر سیالات مشتق شده از لیتوسfer فرورونده در منطقه‌های فرورانشی را نشان می‌دهد. به عبارتی دیگر نحوه قرارگیری نمونه‌ها روی نمودار خطی به موازات روند غنی‌شدنی گدازه‌های مناطق فرورانش است و احتمالاً تحت تأثیر محلول‌های آزاد شده از لیتوسfer فرورو یا آلوگی پوسته‌ای قرار گرفته‌اند زیرا غنی‌شدنی Th احتمالاً به آلوگی پوسته‌ای یا سرشتی‌های خاستگاه وابسته است [۲۸] و نیز مقدار کم Nb نشانده‌های ماقمای وابسته به محیط‌های

فلدسبارها از طریق تبلور تفریق در شرایط فوگاسیته پایین اکسیژن باعث آنومالی منفی Eu در مذاب می‌شود [۳۶]. فراوانی فلدسبار در این سنگ‌ها، بیانگر این است که پلازیوکلاز به عنوان یک کانی نگهدارنده عناصر فوق نتوانسته در فرآیند ذوب-بخشی ناحیه منبع تشکیل دهنده ماقمای سنگ‌های منطقه پایدار بماند و در نتیجه ذوب آن، مقادیر زیادی از Eu و Sr وارد ماقمای نهایی و باعث ایجاد آنومالی مثبت این عناصر در نمودار عنکبوتی شده است. در نمودار بهنجار شده نسبت به گوشته اولیه در (شکل ۱۰ ب) شاهد تمرکز نسبتاً بالایی از عناصر لیتوфیل بزرگ یون (LILE) مانند Ba، K و تمرکز پایینی از عناصر با شدت میدان بالا (HFSE) مخصوصاً Ti و Nb هستیم. روند تغییرات این نمونه‌ها با محیط زمین‌ساختی مرتبط با فرورانش انطباق دارند [۲۸] و شاخص سنگ‌های آتشفشنانی وابسته به کمان قاره‌ای است [۳۷]. این ویژگی‌ها می‌توانند نشانه آلایش پوسته‌ای و در واقع ورود اجزای LILE موجود در پوسته اقیانوسی فرورونده به درون گوشته بالایی آن باشد [۳۸]. عناصر LILE قابلیت اتحال و تحرک بیشتری از HFSE در سیالات دارند [۳۹] بنابراین در مناطق فرورانش، سیالات آزاد شده از بخش بالایی لیتوسفر اقیانوسی فرورونده که از Nb فقیر و از LILE غنی می‌شوند و به گوشته افزوده می‌شوند. آنومالی منفی عناصر Ti، Nb می‌تواند به حضور اجزای فرورانش در گوشته منشاء، آلودگی پوسته‌ای [۴۰] و یا مرتبط با روتیل باقی‌مانده باشد که این عناصر را در حین ذوب رسوبات حفظ می‌نماید [۳۹].

HFSE، به خصوص Nb و Ta نسبت به LILE را می‌توان در درجه اول به سه مرحله نسبت. داد: ۱) اضافه شدن یک سیال فقیر از Nb-Ta رها شده از صفحه فرورانش به گوه گوشته‌ای، ۲) حفظ ترجیحی Nb-Ta در آمفیبیول‌ها و روتیل‌ها نسبت به فازهای دیگر از صفحه فرورانش یا خاستگاه گوشته و ۳) آلودگی ماقمای مشتق شده از گوشته به وسیله‌ی ترکیبات پوسته‌ای است [۳۲]. شواهد ژئوشیمیایی بیانگر آنست که ماقمای سازنده سنگ‌های منطقه، از ذوب بخشی گوه گوشته‌ای تا حدودی متاسوماتیسم شده توسط سیالات سرچشمه گرفته از آب‌زدایی ورقه اقیانوسی دگرگون شده در رخساره آمفیبیولیت و رسوبات فرورونده همراه آن، حاصل شده است [۶].

نمودارهای عنکبوتی

برای شناخت بهتر ویژگی‌های ژئوشیمیایی سنگ‌های آتشفشنانی مورد مطالعه، از نمودارهای عنکبوتی بهنجار شده عناصر خاکی نادر نسبت به کندریت [۳۳] و نمودار عنکبوتی بهنجار شده عناصر کمیاب نسبت به گوشته اولیه [۳۴] (شکل ۱۰ الف و ب) استفاده شده است. شکل ۱۰ الف، بیانگر غنی-شدگی از عناصر خاکی نادر سبک (LREE) نسبت به عناصر خاکی نادر سنگین (HREE) می‌باشد. این امر از ویژگی‌های ماقمای‌های کالک‌آلکالن کمان‌های آتشفشنانی زون‌های فرورانش حاشیه قاره‌ای است [۳۵]. همانطور که در این نمودار مشاهده می‌شود، نمونه‌های مورد مطالعه دارای آنومالی مثبت از Sr و Eu می‌باشند. آنومالی Eu توسط پلازیوکلاز کنترل می‌شود و به فوگاسیته اکسیژن وابسته است. بنابراین خارج شدن



شکل ۱۰ الف) نمودارهای عنکبوتی بهنجار شده عناصر خاکی نادر نسبت به کندریت [۳۳] و ب) نمودار عنکبوتی بهنجار شده عناصر کمیاب نسبت به گوشته اولیه [۳۴].

- [6] Yousefi F., Sadeghian M., Sadati Jamali S.Z., Mansouri Moghaddam B., Ghasemi H., "Petrogenesis of low Silica Adakitic domes of Sahl (South of Shahrood, southeast of Semnan Province)", Journal of Petrology 28(2017) 95-108.
- [7] Ilkhchi M. R., Faryad S. W., Schulmann K., Kosler J., "Metamorphism and exhumation processes of the Shotur Kuh metamorphic complex, Semnan Province (Central Iran Zone)", Geolines 20 (2006) 55.
- [8] Ghasemi H., Rezaei Kakhkhaei M., "Petrochemistry and tectonic setting of the Davarzan-Abbasabad Eocene Volcanic (DAEV) rocks, NE Iran", Journal of Mineralogy and Petrology Mineralogy and Petrology 109.2 (2015) 235-252.
- [9] Ghaemi F., Mousavi-Hahrami R., "Geological map of 1: 100,000 Daruneh", Geological Survey of Iran.(2006)
- [10] Fisher R. V., Schmincke H. U., "Pyroclastic rocks. Springer Science & Business Media", (2012).
- [11] Wilson M., "Igneous petrogenesis a global tectonic approach", Department of earth Science, University of leeds (1989) 466.
- [12] Middlemost E. A. K., "Naming materials in the magma/igneous rock system", Earth-Science Reviews 37.3 (1994) 215-224.
- [13] Pearce J. A., "A user's guide to basalt discrimination diagrams", Trace element geochemistry of volcanic rocks: applications for massive sulphide exploration. Geological Association of Canada, Short Course Notes 12.79 (1996) 113.
- [14] Harker A., "The natural history of igneous rocks Methneu", London, (1909) 344.
- [15] Kelemen P. B., Hanghøj K., Greene A. R. "One view of the geochemistry of subduction-related magmatic arcs, with an emphasis on primitive andesite and lower crust", Treatise on geochemistry 3(2003) 593-659.
- [16] Rollinson H. R., "using Geochemical Data: Evaluation, Presentation, Interpretation", Publication by John Wiley and Sons (1993) 325

برداشت

سنگ‌های آتشفشنانی اؤسن نوار ماقمایی شمال پهنه ساختاری ایران مرکزی میزبان کانسار مس ابری دارای ترکیب غالب آندزیت و آندزیت‌بازالتی هستند. این سنگ‌ها به سری‌های ماقمایی کالک‌آلکالن پتابسیم متوسط تا بالا تعلق دارند و در طی یک رژیم زمین‌ساختی از نوع کمان‌های آتشفشنانی حاشیه فعال قاره‌ای تشکیل شده‌اند. تبلور تفریقی، آلایش ماقمایی و متاسوماتیسم ورقه اقیانوسی فرورانده شده در تحول سنگ‌های آتشفشنانی مورد نظر مشارکت داشته‌اند. شواهد ژئوشیمیایی بیانگر آنست که ماقمای سازنده این سنگ‌ها، از ذوب‌بخشی گوه گوشت‌های تا حدودی متاسوماتیسم شده حاصل شده است. فرورانش رو به شمال ورقه اقیانوسی نئوتیس سیزوار (شاخه درونه) به زیر حاشیه جنوبی ورقه توران، عامل تشکیل سنگ‌های آتشفشنانی کمان قاره‌ای شمال‌غرب بردست کن منجر بوده است.

مراجع

- [1] Ghasemi A., Talbot C. J., "A new tectonic scenario for the Sanandaj-Sirjan Zone (Iran)", Journal of Asian Earth Sciences 26 (2006) 683-693.
- [2] Yousefi F., Sadeghian M., Semyari S., Ghasemi H., "Geochemistry and Tectonic setting of high silica adakitic domes Of Ahmad Abad Khartouran (South East of Shahrood)", Journal of Earth Sciences 100 (2017) 291 -298
- [3] Haghipour A. A., Aghanabati S.A., Geological map of Iran 1:100000", Geol. Surv. Iran (1985.)
- [4] Emami M.H., Sadeghi M. "Omranı S.J., Magmatic map of Iran 1:100000", Geol, Surv, Iran, (1993).
- [5] Shabanian E., Acocella V., Gioncada A., Ghasemi H., Bellier O., "Structural control on volcanism in intraplate post collisional settings: Late Cenozoic to Quaternary examples of Iran and Eastern Turkey", Journal of Tectonics 31(2012) 3013-3042.

- [27] Leat P. T., Pearce J. A., Barker P. F., Millar I. L., Barry T. L., Larter R. D., "Magma genesis and mantle flow at a subducting slab edge: the South Sandwich arc-basin system", *Earth and Planetary Science Letters* (2004) 17-35.
- [28] Kuscu G.G., Geneli F., "Review of post-collisional volcanism in the central Anatolian volcanic province (Turkey), with special reference to the Tepekoval volcanic complex", *International Journal of Earth Sciences* 99.3 (2010) 593-621.
- [29] Aldanmaz E., Pearce J.A., Thirlwall M.F., Mitchell J.G., "Petrogenetic evolution of late Cenozoic, post-collision volcanism in western Anatolia, Turkey", *Journal of Volcanology and Geothermal Research* 102.1 (2000) 67-95
- [30] Hawkesworth C. J., Turner S., Peate D., McDermott F., van Calsteren P., "Elemental U and Th variations in island arc rocks: implications for U-series isotopes", *Chemical Geology* 139.1 (1997) 207-221.
- [31] Elburg M. A., Bergen M. V., Hoogewerff J., Foden J., Vroon P., Zulkarnain I., Nasution A., "Geochemical trends across an arc-continent collision zone: magma sources and slab-wedge transfer processes below the Pantar Strait volcanoes", Indonesia. *Geochemica et Cosmochimica Acta* 66.15 (2002) 2771-2789
- [32] Wilson B., M., "Igneous petrogenesis a global tectonic approach", Springer Science &Business Media (2007).
- [33] Thompson R. N., "Magmatism of the British Tertiary volcanic province", *Scottish Journal of Geology* 18.1 (1982) 49-107.
- [34] Sun S. S., McDonough W. F., "Chemical and isotopic systematics of oceanic basalts: implications for mantle composition and processes", Geological Society, London, Special Publications 42.1 (1989) 313-345
- [35] Asiabanza A., Bardintzeff J.M., Kanianian A., Rahimi G., "Post-Eocene volcanics of the Abazar district, Qazvin, Iran: Mineralogical and geochemical evidence for a complex magmatic evolution", *Journal of Asian Earth Sciences* 45 (2012) 79-94
- [17] Gourgaud A., Vincent P. M., "Petrology of two continental alkaline intraplate series at Emi Koussi volcano, Tibesti, Chad", *Journal of volcanology and geothermal research* 129.4 (2004) 261-290.
- [18] Irvine T.N., Baragar W. R. A., "A guide to the classification of the common volcanic rocks", Can: *Journal of Earth Sciences* 8 (1971) 235-4580.
- [19] Middlemost E. A. K., "The basalticla", *Earth Science Reviews* 11.4 (1975) 337- 364.
- [20] Kurkcuoglu B., "Geochemistry and petrogenesis of basaltic rocks from the Develidag volcanic complex, Central Anatolia, Turkey", *Journal of Asian Earth Sciences* 37.1 (2010) 42-51.
- [21] Wood D. A., "The application of a Th Hf Ta diagram to problems of tectonomagmatic classification and to establishing the nature of crustal contamination of basaltic lavas of the British Tertiary Volcanic Province", *Earth and planetary science letters* 50.1 (1980) 11-30.
- [22] Muller D., Groves D. I., "Potassic Igneous Rocks and Associated Gold- Copper Mineralization", Springer (2015).
- [23] Pearce J.A., "Role of the sub-continental lithosphere in magma genesis at active continental margins", In: Hawkesworth, C.J. and Norry, M.L. (Eds.), *Continental basalts and Mantle Xenoliths*. Shiva, Nantwich (1983) 230-249.
- [24] Temizel İ., Arslan M., Ruffet G., Peucat J.J., "Petrochemistry, geochronology and Sr-Nd isotopic systematics of the Tertiary collisional and post-collisional volcanic rocks from the Ulubey (Ordu) area, eastern Pontide, NE Turkey: implications for extension-related origin and mantle source characteristics", *Lithos* 128 (2012) 126–147.
- [25] Pearce J. A., Norry M.J., "Petrogenetic implication of Ti, Zr, Y and Nb variations in volcanic rocks", *Contribution to Mineralogy and Petrology* 69.1 (1979) 33- 47.
- [26] Temel A., Gondogdu M.N., Gourgaud A., "Petrological and geochemical characteristics of Cenozoic high-K calc-alkaline volcanism in Konya, Central Anatolia, Turkey", *Journal of Volcanology and Geothermal Research* 85.1-4 (1998) 327-354

- [39] Pang K.N., Chung S.L., Zarrinkoub M.H., Khatib M.M., Mohammadi S.S., Chiu H.Y., Chu C.H., Lee H.Y., Lo C.H., "Eocene–Oligocene post-collisional magmatism in the Lut–Sistan region, eastern Iran: magma genesis and tectonic implications", *Lithos* 180 (2013) 234-251.
- [40] Ozdemir, Y., "Volcanostratigraphy and petrogenesis of Süphan stratovolcano", Ph.D, Thesis, Middle East Technical University Ankara, Turkey (2011) 279.
- [36] Wilsonb B. M., "Igneous petrogenesis a global tectonic approach", Springer Science & Business Media, (2007).
- [37] Zanetti A., Marzucchelli M., Rivalenti G., Vannuci R., "The Finero Phlogopite massif: an example of subduction- related metasomatism", Contributions to Mineralogy and Petrology 134 (1999) 107- 122.
- [38] Seghedi I., Downes H., Pecskay Z., Thirlwall M.F., Szakács A., Prychodko M., Mattey D., "Magmagenesis in "Magmagenesis in a subduction-related post-collisional volcanic arc segment: the Ukrainian Carpathians", *Lithos* 57.4 (2001) 237-262.